

УДК 612.3:612.015.33:612.015.38

Л. А. Дубицкий, И. В. Шостаковская

**ИЗМЕНЕНИЕ СООТНОШЕНИЯ ДВУХ ПУТЕЙ СИНТЕЗА
ПИРИМИДИНОВЫХ ПРЕДШЕСТВЕННИКОВ РНК
В ОТДЕЛЬНЫХ ОРГАНАХ ПИЩЕВАРИТЕЛЬНОГО ТРАКТА
ПОД ВЛИЯНИЕМ АЦЕТИЛХОЛИНА**

Известно, что синтез пиримидиновых нуклеотидов осуществляется в клетках животных как из нециклических соединений, с образованием промежуточного метаболита — оротовой кислоты (путь *de novo*), так и за счет реутилизации продуктов распада нуклеиновых кислот (уридина и др.). Соотношение этих путей синтеза нуклеотидов различно в разных органах и изменяется при регенерации и пролиферации тканей [1, 6, 9]. В то же время нервные механизмы регуляции этих процессов изучены недостаточно.

Учитывая существенную роль холинергических механизмов в регуляции секреции пищеварительных желез, а также имеющиеся в литературе указания об активации обмена нуклеиновых кислот на высоте секреции [3, 7, 8, 12, 22], мы поставили задачу определить вклад каждого из путей в синтез пиримидиновых нуклеотидов РНК отдельных пищеварительных желез животных до и после введения им ацетилхолина.

Методика исследований

Эксперименты проводили на белых крысах массой 170—220 г, голодающих перед опытом в течение 18—20 ч. Ацетилхолин гидрохлорид вводили внутривенно вместе с прозерином за 1; 2 и 3 ч до декапитации. Доза ацетилхолина составляла 100 мкг, а прозерина — 5 мкг/100 г. $[2\text{-}^{14}\text{C}]$ -оротовую кислоту (Институт изотопов АН ВНР; 31,4 мКи/ммоль) и $[2\text{-}^{14}\text{C}]$ -уридин (Всесоюзное объединение «Изотоп», СССР; 55,2 мКи/ммоль) вводили внутривенно в эквимолярных количествах по 0,5 мкмоля/ 100 г за 1 ч до декапитации. Удельная радиоактивность вводимых препаратов после соответствующих разведений составляла $4,36 \times 10^7$ имп/мин на 1 мкмоль.

После декапитации животных печень, поджелудочную железу и желудок извлекали, замораживали и, отделив предварительно слизистую оболочку желудка от мышечного слоя, немедленно поддавали последующую обработку. Навески тканей гомогенизировали в 0,5 н. HClO_4 , центрифугировали при 2000 г 15 мин. Осадок последовательно промывали в 0,2 и 0,1 н. HClO_4 . Первые две надосадочные фракции объединяли и обозначали как кислотостойкую фракцию (КРФ). Все перечисленные операции проводили на холоде. Осадок делипидизировали и использовали для выделения нуклеотидов РНК методом щелочного гидролиза [11].

Радиоактивность препаратов определяли на газопроточном счетчике «Протока». Полученные результаты обработаны статистически с использованием критерия Стьюдента.

Результаты исследований и их обсуждение

В данной работе интенсивность новообразования и реутилизационного пути синтеза пиримидиновых нуклеотидов мы оценивали по скорости включения радиоактивно меченых ключевых метаболитов этих путей — $[2\text{-}^{14}\text{C}]$ -оротовой кислоты и $[2\text{-}^{14}\text{C}]$ уридина, в нуклеотиды РНК.

Результаты опытов прежде всего свидетельствуют о том, что радиоактивная метка оротовой кислоты и уридуна с различной скоростью включается в суммарную РНК исследуемых тканей (табл. 1). Так, радиоактивность РНК ткани печени после введения меченой оротовой кислоты почти на два порядка выше, чем в двух других исследуемых органах: слизистой оболочки желудка и поджелудочной железе. Радиоактивность РНК слизистой оболочки желудка в 1,3 раза выше, чем

Изменение соотношения

в поджелудочной железе (*р* тканей исследуемых органов) поджелудочная железа, печень,

Поступление радиоактивного и кислотостойкого

Название органа	Рад
Слизистая оболочка желудка	[2]
Поджелудочная железа	3
Печень	3

Слизистая оболочка желудка
Поджелудочная железа
Печень

Примечание. РА — радиоактивный

Доля новообразования пиримидиновых нуклеотидов

Показатели	
Доля новообразования, %	
Доля реутилизационного пути, %	

Примечание. Долю путей определено на основе усредненных данных по органам.

Для характеристики спектра РНК двумя альтернативами образования (σн) и реутилизации радиоизотопа каждого из исследуемых тканей согласно

$$\sigma_n = \frac{A_{op}}{A_{op} + A_{ur}}$$

где A_{op} и A_{ur} — радиоактивность оротовой и уридиновой метки в тканях.

Результаты этих вычислений таблицы, в печени прецентного пути незначительные литературными данными [1, 2], в печени оротата в анаболическом распадается в этом органе в желудке и поджелудочной железе составляет соответственно 36,8

в поджелудочной железе ($p < 0,05$). Поступление метки уридина в РНК тканей исследуемых органов снижается в следующем порядке: поджелудочная железа, печень, слизистая оболочка желудка.

Таблица 1
Поступление радиоактивной метки оротовой кислоты и уридина в РНК и кислоторастворимую фракцию тканей ($M \pm m$; $n=5$)

Название органа	Радиоактивность, имп/мин на 1 г ткани $\times 10^{-2}$		$\frac{\text{РА РНК}}{\text{РА КРФ}} \times 100$
	РНК	КРФ	
[2- ¹⁴ C]-оротовая кислота			
Слизистая оболочка желудка	36,0 \pm 1,1	178,4 \pm 8,1	20,21 \pm 0,88
Поджелудочная железа	27,3 \pm 3,4	311,8 \pm 24,2	8,80 \pm 0,93
Печень	3433,7 \pm 294,1	20463,6 \pm 1360,0	16,84 \pm 1,14
[2- ¹⁴ C]-уридин			
Слизистая оболочка желудка	21,0 \pm 1,4	84,7 \pm 6,9	25,74 \pm 2,90
Поджелудочная железа	40,6 \pm 3,8	310,0 \pm 44,6	13,74 \pm 1,37
Печень	23,0 \pm 1,8	178,2 \pm 24,3	15,80 \pm 1,99

Примечание. РА — радиоактивность; КРФ — кислоторастворимая фракция тканей.

Таблица 2
Доля новообразования и реутилизационного пути синтеза пиримидиновых нуклеотидов РНК в исследованных органах

Показатели	Слизистая оболочка желудка	Поджелудочная железа	Печень
Доля новообразования, %	63,11	40,20	99,33
Доля реутилизационного пути, %	36,89	59,80	0,67

Примечание. Долю путей синтеза нуклеотидов рассчитывали на основании усредненных данных по радиоактивности РНК исследуемых органов.

Для характеристики способности тканей синтезировать нуклеотиды РНК двумя альтернативными путями мы рассчитали долю новообразования (σ_n) и реутилизационного пути (σ_p), приравненную к доле радиоизотопа каждого из вводимых меченых соединений в РНК исследуемых тканей согласно приведенным формулам:

$$\sigma_n = \frac{A_{op}}{A_{op} + A_{up}} \times 100, \quad \sigma_p = 100 - \sigma_n,$$

где A_{op} и A_{up} — радиоактивность РНК исследуемых тканей после введения животным меченой оротовой кислоты и уридина.

Результаты этих вычислений представлены в табл. 2. Как видно из этой таблицы, в печени преобладает путь *de novo*, а доля реутилизационного пути незначительна и составляет 0,67 %, что согласуется с литературными данными [1, 6, 9, 15, 21] о преимущественном включении оротата в анabolический путь обмена, основная часть уридина распадается в этом органе до β -аланина и воды. В слизистой оболочке желудка и поджелудочной железе доля реутилизационного пути составляет соответственно 36,89 и 59,80 %, что позволяет предположить

важное значение этого пути в синтезе пиримидиновых предшественников РНК этих органов. Уридин также более интенсивно поступает в РНК из КРФ данных тканей (табл. 1), в первую очередь в РНК поджелудочной железы. Так, в РНК печени количество метки оротовой кислоты и уридина составляет соответственно 16,8 и 15,8 % радиоактивности КРФ. В слизистой оболочке желудка этот показатель составляет 20,2 % после введения оротовой кислоты и 25,7 % после введения уридина, а в поджелудочной железе соответственно — 8,8 и 13,7 %

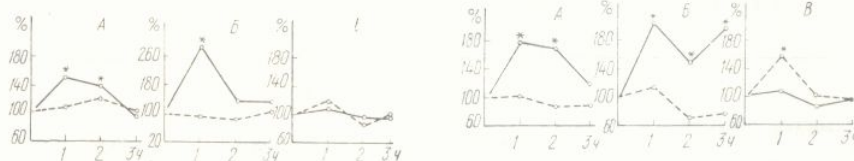


Рис. 1. Поступление меченых предшественников в РНК слизистой оболочки желудка (A), поджелудочной железы (B) и печени (B) после введения ацетилхолина.

По горизонтали — время после введения ацетилхолина (ч); по вертикали — имп/мин на 1 г ткани (% к контролю принятому за 100). Звездочка — $p < 0,05$. Сплошная линия — [³H]-оротовая кислота, прерывистая — [³H]-уридин.

Рис. 2. Поступление меченых предшественников в КРФ слизистой оболочки желудка (A), поджелудочной железы (B) и печени (B) после введения ацетилхолина.

Обозначения см. рис. 1.

($p < 0,05$). Указанные различия свидетельствуют, во-первых, о более эффективном использовании уридина для синтеза РНК клетками поджелудочной железы и, по-видимому, слизистой оболочки желудка, чем клетками печени; во-вторых, — о более эффективном извлечении из КРФ меченых предшественников для синтеза пиримидиновых нуклеотидов РНК в слизистой оболочке желудка, чем в двух других исследуемых тканях. В основе последнего отличия лежит, по-видимому, высокая регенераторная способность слизистой оболочки желудка [18].

Способность эффективно использовать для синтеза пиримидиновых нуклеотидов РНК уридин и другие нуклеотиды выявлена также в нервной, легочной, костной и некоторых других тканях [6, 9, 14, 21], характеризующихся низкой скоростью образования карбамоилфосфата [20], лимитирующего звена синтеза *de novo* пиримидиновых нуклеотидов, что по аналогии можно предположить и для исследуемых тканей.

Ацетилхолин гидрохлорид, введенный животным совместно с прозерином, способствует увеличению поступления метки оротовой кислоты в РНК слизистой оболочки желудка и поджелудочной железы (рис. 1). Так, радиоактивность РНК этих тканей увеличивается уже через 1 ч после введения ацетилхолина соответственно на 50 ($p < 0,01$) и 78 % ($p < 0,001$) по отношению к контролю. Это сопровождается одновременным повышением радиоактивности КРФ, превышающей в слизистой оболочке желудка на 78 ($p < 0,001$), а в поджелудочной железе — на 105 % ($p < 0,001$) контрольный уровень (рис. 2). Такой же эффект наблюдается в слизистой оболочке желудка и через 2 ч после введения ацетилхолина. В то же время в поджелудочной железе скорость поступления оротовата в РНК замедляется, хотя радиоактивность КРФ этой ткани значительно превышает контрольный уровень ($p < 0,01$). В печени скорость поступления метки оротовой кислоты в РНК и КРФ под влиянием ацетилхолина изменяется незначительно.

Поступление радиоактивной метки уридина под влиянием ацетилхолина в исследуемые ткани значительно отличается. Так, включение радиоактивно меченого уридина в РНК этих тканей под влиянием ацетилхолина практически не изменяется. Зато ацетилхолин стимулирует поступление меченого уридина в КРФ печени на 59 % ($p < 0,05$),

Изменение соотношения

не влияя на подобное постподжелудочное железе.

Таким образом, полученной специфике влияния ацетилхолина и уридина и оротовой кислоты нельзя удовлетворить мимическими сдвигами в тканях ацетилхолина [5], о чем свидетельствует поступление радиоактивных тканей животных [17], мыния меченого оротовата в РНК поджелудочной железы по требностями клеточного отурными данными о стимулировании синтеза пиримидиновых нуклеотидов в новообразованном сердце лягушки [1]. Для полученных нами и лигации фосфорибозилпирофосфатным мессенджером ацетилхолина на новообразование на уровне фосфорибозильной превращения аллостерической тетразы [18], начального энзимов.

Отсутствие подобного влияния ацетилхолина может быть высшим уровнем дов по сравнению с двумя видами о зависимости влияния нуклеотидов от органной и других сторон обмена веществ.

L. A. Dubi

CHANGES IN CORRELATION OF PRECURSOR SYNTHESIS IN STOMACH MUCOSA AND PANCREAS UNDER THE ACTION OF ACETYLCHOLINE

It was shown that the rate of incorporation of [³H]-uridine into the RNA of rat stomach mucosa and pancreas was increased by 78% and 105% respectively, while the rate of incorporation of [³H]-UTP into the RNA of these tissues was increased by 50% and 78% respectively. The rate of incorporation of [³H]-UTP into the RNA of rat liver was increased by 25.7% and 20.2% respectively. The rate of incorporation of [³H]-UTP into the RNA of rat liver was increased by 59% and 16.8% respectively. The rate of incorporation of [³H]-UTP into the RNA of rat liver was increased by 15.8% and 8.8% respectively. The rate of incorporation of [³H]-UTP into the RNA of rat liver was increased by 105% and 78% respectively. The rate of incorporation of [³H]-UTP into the RNA of rat liver was increased by 59% and 16.8% respectively. The rate of incorporation of [³H]-UTP into the RNA of rat liver was increased by 15.8% and 8.8% respectively.

Department of Human and Animal Physiology, I. Franko State University, Lvov

- Ворновицкая Г. И., Дубинин А. А. Изменение соотношения метки оротовой кислоты и уридина в РНК слизистой оболочки желудка и поджелудочной железы под влиянием ацетилхолина // Бюл. экспериментальной биологии и медицины. — 1970. — № 1. — С. 10—13.
- Глебов Р. Н., Поздняков О. А. Стимуляция синтеза пиримидиновых нуклеотидов в КРФ печени и слизистой оболочки желудка под влиянием ацетилхолина // Бюл. экспериментальной биологии и медицины. — 1969. — № 34. — С. 524—528.

не влияя на подобное поступление в слизистой оболочке желудка и поджелудочной железы.

Таким образом, полученные результаты свидетельствуют об органной специфике влияния ацетилхолина на распределение радиоактивного уридуна и оротовой кислоты в исследуемых органах. Наблюдаемые эффекты нельзя удовлетворительно объяснить возможными гемодинамическими сдвигами в тканях пищеварительных желез под влиянием ацетилхолина [5], о чём свидетельствует отсутствие односторонности в поступлении радиоактивного уридуна и оротовой кислоты в исследуемые ткани. Учитывая данные о быстром проникновении оротата в ткани животных [17], мы считаем, что увеличение скорости поступления меченого оротата в РНК и КРФ слизистой оболочки желудка и поджелудочной железы под влиянием ацетилхолина обусловлено потребностями клеточного обмена веществ. Это согласуется с литературными данными о стимулировании ацетилхолином новообразования пиримидиновых нуклеотидов в других тканях, в том числе в изолированном сердце лягушки [10] и синаптосомах мозга крыс [2]. Сопоставляя полученные нами и литературные данные об аллостерической активации фосфорибозилпирофосфатсинтетазы цГМФ [13], являющейся клеточным мессенджером ацетилхолина [4], следует полагать, что влияние ацетилхолина на новообразование пиримидиновых нуклеотидов осуществляется на уровне фосфорибозилпирофосфатсинтетазной реакции. Концентрация фосфорибозилпирофосфата не только может лимитировать процесс включения оротата в пиримидиновые нуклеотиды [16], но является также аллостерическим активатором карбамоилфосфатсинтетазы [18], начального энзима синтеза *de novo* пиримидиновых нуклеотидов.

Отсутствие подобного эффекта в печени, а также накопление под влиянием ацетилхолина меченого уридуна в КРФ этого органа, со значительно высшим уровнем новообразования пиримидиновых нуклеотидов по сравнению с двумя другими органами (табл. 2), свидетельствует о зависимости влияния ацетилхолина на обмен пиримидиновых нуклеотидов от органной специфики этого обмена и, по-видимому, от других сторон обмена веществ в исследуемых органах.

L. A. Dubitsky, I. V. Shostakovskaya

CHANGES IN CORRELATION OF TWO PATHWAYS OF RNA PYRIMIDINE PRECURSOR SYNTHESIS IN CERTAIN ORGANS OF THE DIGESTIVE TRACT UNDER ACETYLCHOLINE INFLUENCE

Summary

It was shown that the rate of $[2-^{14}\text{C}]$ -orotic acid inclusion into RNA and acid-soluble fraction was two order higher in the liver than in the stomach mucosa and pancreas of rats. The rate of $[2-^{14}\text{C}]$ -uridin inclusion into RNA and total acid-soluble fraction was the highest in the pancreas. Intraperitoneal acetylcholine injection to animals increased the rate of $[2-^{14}\text{C}]$ -orotic acid inclusion into RNA and acid-soluble fraction of the stomach mucosa and pancreas but not of the liver. Acetylcholine promoted accumulation of $[2-^{14}\text{C}]$ -uridin in the acid-soluble fraction of the liver and had no influence on its inclusion into the stomach mucosa and pancreas.

Department of Human and Animal Physiology,
I. Franko State University, Lvov

Список литературы

1. Ворновицкая Г. И., Дубинина И. Г., Герштейн Е. С. и др. Изменение соотношения двух путей синтеза предшественников РНК в тканях животных с быстрорастущими гепатомами.— Бюл. эксперим. биологии и медицины, 1979, № 3, с. 267—270.
2. Глебов Р. Н., Поздняков О. М. Стимулирующий эффект ацетилхолина на включение *in vitro* $[2-^{14}\text{C}]$ -оротовой кислоты в синаптосомы мозга у крыс.— Биохимия, 1969, 34, вып. 3, с. 524—528.

3. Губерниев М. А., Ильина Л. И. Скорость обновления фосфонуклеопротенда в пищеварительных железах.—Докл. АН СССР, 1951, 71, № 2, с. 351—353.
4. Кожемякин Л. А., Коростовцев Д. С., Королева Т. Р. Циклические нуклеотиды в клинической и экспериментальной медицине.—В кн.: Циклические нуклеотиды. М.: Наука, 1979, с. 92—128.
5. Курчин И. Т. Кровоснабжение главных пищеварительных желез.—Л.: Наука, 1978. —164 с.
6. Матвеенко В. Н. Биосинтез пиримидиновых нуклеотидов в нормальной и регенерирующей костной ткани.—Вопр. мед. химии, 1980, № 2, с. 162—164.
7. Николов Т. К., Данев П. К. Содержание нукleinовых кислот в слизистой желудка у кошек наташак и при возбуждении секреторной деятельности.—Укр. биохим. журн., 1958, 30, № 5, с. 652—655.
8. Свистун Т. И., Загороднева А. Г., Наливайко Д. Г. Роль нукleinовых кислот и белков слизистой оболочки желудка в секреторном процессе.—Физиол. журн., 1981, 27, № 1, с. 101—106.
9. Ткачук А. М. Исследование синтеза пиримидиновых нуклеотидов у цыплят: Автограф. дис. ... канд. биол. наук.—Киев, 1980.—24 с.
10. Турлаев Т. М., Путинцева Т. Г. Биохимический механизм саморегуляции холинергического медиаторного процесса.—Успехи физiol. наук, 1974, 5, № 1, с. 17—47.
11. Шаткин А. Определение содержания РНК, ДНК и белка с помощью меченых предшественников и последующего химического фракционирования.—В кн.: Методы вирусологии и молекулярной биологии. М.: Мир, 1972, с. 191—193.
12. Шостаковская И. В. Экспериментальный анализ работоспособности поджелудочной железы: Автограф. дис. ... д-ра мед. наук.—Львов, 1968.—40 с.
13. Green C. D., Martin D. W. A Direct Stimulating Effect of Cyclic GMP on Purified Phosphoribosyl Pyrophosphate Synthetase and its Antagonism by Cyclic AMP.—Cell, 1974, N 4, p. 241—245.
14. Hogans A. F., Gueroff G., Udenfriend S. Studies on the origin of pyrimidines for biosynthesis of neural RNA in the rat.—J. Neurochem., 1971, 18, N 9, p. 1699—1710.
15. Harley E. H., Losman M. J. Anabolic and catabolic pathways of pyrimidine metabolism in rat liver.—Int. J. Biochem., 1981, 13, N 2, p. 247—249.
16. Jones M. E. Pyrimidine nucleotide biosynthesis in animals: genes, enzymes, and regulation of UMP biosynthesis.—Ann. Rev. Biochem., 1980, 49, p. 253—279.
17. Lewan L., Petersen I., Yugner T. Incorporation of Orotic Acid into Nucleotides and RNA in Mouse Organs during 60 Minutes.—Hoppe-Seyles Z. Physiol. Chem., 1975, 356, p. 425—429.
18. Lipkin M. Cell proliferation in the gastrointestinal tract in man.—Fed. Proc., 1965, N 1, p. 10—14.
19. Tatibana M., Shigesada K. Two carbamyl phosphate synthetases of mammals. Specific roles in control of pyrimidine and urea biosynthesis.—Adv. Enzyme Regul., 1972, 10, p. 249—255.
20. Tatibana M., Ito K. Control of Pyrimidine Biosynthesis in Mammalian Tissues.—J. Biol. Chem., 1969, 244, N 19, p. 5403—5414.
21. Witschi H. Comparative study of in vivo RNA and protein synthesis in rat liver and lung.—Cancer Res., 1972, 32, N 8, p. 1686—1694.
22. Szostakowska I. W. Regulacja nerwowa przemiany kwasów nukleinowych i fosfolipidów w tkance trzustki w okresie wydzielania.—Annales UMCS Lublin—Polonia, 1965, 20, N 42, p. 349—363.

Кафедра физиологии человека и животных
Львовского университета

Поступила 14.05.82

УДК 612.385:577.17

С. В. Вовчук
А. П.

ВЛИЯНИЕ КАЛЛИКРЕИНА НА

Внимание исследователей новой системы в регуляции физиологии, что кининовая система рассматривается как гуморальные регуляторы кровотока организма [7, 38, 42].

Литературные данные о логических функциях желудка являются значительные изменения. С ее активацией связывают также болевой синдром, полученных в клинических условиях исследований, в которых регулировать моторную деятельность желудка и кислотность желудочного сокращения и клеток слизистой оболочки же-

Влияние калликреин-кининовой системы на фармакологические свойства гладкой мускулатуры. Исследование большую чувствительность матки крысы, что позволило и чественном определении кининов.

На различные отделы кининов оказывает значительное действие: расслабляющие кишечника (у кроликов кинины кращают нижележащие отделы артериального введения брадикининов). Внутривенное введение брадикининов вызывает эффект.

Биологическое действие кининов вызывает на возможное влияние на чувствительность нерва [25]. Подтверждение высвобождение кининов мышечного препарата желудка.

Расслабляющее действие кининов осуществляется через несколько секунд после введения препарата. Восстановление кининов 20 мин [25].

Однократная инъекция кининов интенсивности и циклическими волами (6—8 ч) моторной деятельности желудка действует противоположно фаза активации моторной активности калликреинов и многом зависит от тонуса мускулатуры.